

## WPŁYW TEMPERATURY CZYNNIKA SUSZĄCEGO NA KINETYKĘ SUSZENIA KROPEL SOKU Z BURAKÓW ĆWIKŁOWYCH

Stanisław Peroń, Mariusz Surma

*Instytut Inżynierii Rolniczej, Uniwersytet Przyrodniczy we Wrocławiu*

Kazimierz Michalak

*Państwowa Wyższa Szkoła Zawodowa w Sulechowie*

**Streszczenie.** Na stanowisku laboratoryjnym przeprowadzono doświadczenia nad suszeniem pojedynczych kropel koncentratu soku z buraków ćwikłowych o zawartości ekstraktu 30% przy temperaturach czynnika suszącego 50, 60, 70, 80, 90°C oraz jego stałej prędkości  $v=1\text{m}\cdot\text{s}^{-1}$ . Wpływ temperatury czynnika suszącego na spadek zawartości wody opisano równaniem wykładniczym. Określono też wielkość strumienia wilgoci.

**Słowa kluczowe:** suszenie sok z buraków ćwikłowych, krople, suszenie konwekcyjne

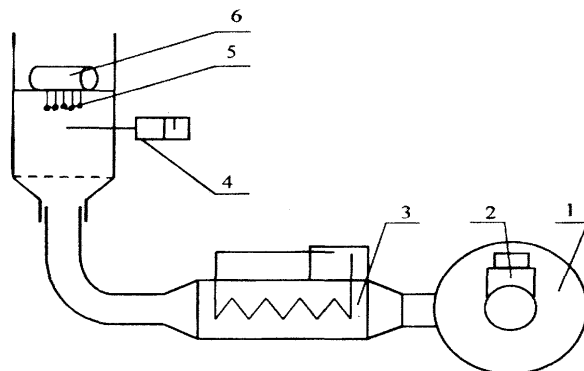
### Wstęp i cel badań

Rosnące zapotrzebowanie na barwniki naturalne zmusza producentów do szukania krajowych wysokowydajnych surowców do ich otrzymywania. Burak ćwikłowy jest jednym z nich [Barański 1998]. Szersze zastosowanie ma otrzymywany z koncentratu soku buraczanego preparat suchy o nazwie „betanina”. Betanina rozpuszcza się w wodzie w każdym stosunku dając zabarwienie w zależności od stężenia odpowiadające truskawce, malinie, wiśni a nawet czerwonej porzeczkę. Roztwory wodne są klarowne, nie posiadają smaku i zapachu. Zalecane jest dozowanie od 0,4 do 1g na kilogram wody. Pomimo, że technologia rozpylowego suszenia roztworu soku buraczanego znana jest od dawna, istnieje nadal luka informacyjna co do dynamiki wysychania i skurczu suszarniczego pojedynczych kropel tego surowca.

Celem badań było wyznaczenie kinetyki suszenia kropel koncentratu soku buraczanego w zależności od temperatury czynnika suszącego.

### Metodyka badań

Suszenie pojedynczych kropel soku z buraka ćwikłowego (30% suchej substancji) otrzymanego z odmiany „Czerwona kula” przeprowadzano na stanowisku badawczym pokazanym na rysunku 1.



Rys. 1. Schemat stanowiska pomiarowego: 1 – wentylator, 2 – zasuwa regulacyjna, 3 – nagrzewnica z regulatorem temperatury, 4 – termopara, 5 – krople soku buraczanego, 6 – cylinder

Fig. 1. Measurement setup diagram: 1 – fan, 2 – control valve, 3 – heater with temperature controller, 4 – thermocouple, 5 – beet juice drops, 6 – cylinder

Metodyka badań była podobna jak u Charleswortha i Marschalla [1960], Sano i Keeya [1982], Nesica [1989].

Na wlotie do wentylatora zastosowano zasuwę (2) do regulacji wydatku powietrza. Regulator temperatury RK 32 umożliwiał utrzymanie temperatury czynnika suszającego z dokładnością  $\pm 1^\circ\text{C}$ . Termoparą (4) mierzono temperaturę czynnika suszającego tuż pod kroplami z dokładnością  $\pm 1^\circ\text{C}$ . Krople soku były podwieszone na końcach plastikowych pręcików polipropylenowych (5 precików). Pręciki były przymocowane do małego cylinderka (6). Cylinderek z precikami i kroplami (5) wkładano do rury suszającej jak na rysunku 1. Wszystkie krople miały średnicę około 0,003 m.

Zastępczą średnicę objętościową kropli  $d_z$  obliczano z zależności:

$$d_z = \sqrt[3]{\frac{6m}{\pi\rho}} \quad (1)$$

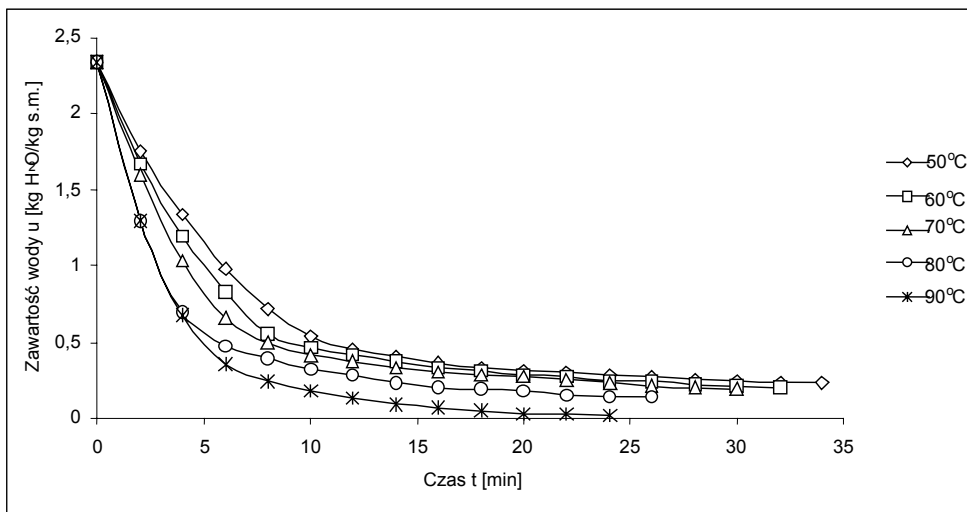
gdzie:

- $m$  – oznacza masę kropli,
- $\rho$  – gęstość roztworu soku

Pomiary ubytków masy suszonych kropel dokonywano co 2 minuty na elektronicznej wadze WPA 60/C z dokładnością  $\pm 0,0001$  g – ważąc cylinder z podwieszonymi kroplami (po uprzednim jego wytarowaniu). Gęstość koncentratu soku oznaczano metodą piknometryczną. Suchą masę surowca określano refraktometrem RL1. Suszenie prowadzono przy temperaturach czynnika suszającego w pobliżu kropel wynoszących odpowiednio: 50°C, 60°C, 70°C, 80°C, 90°C. Wilgotność względną ( $\varphi=30\div40\%$ ) i temperaturę otoczenia (ok. 25°C) mierzono psychrometrem Assmanna z dokładnością  $\pm 2\%$  i termometrem rtęciowym z dokładnością  $\pm 1^\circ\text{C}$ . Średni objętościowy strumień wilgoci  $q_v$  obliczono w oparciu o ubytki wody odniesione do 1 m<sup>3</sup> objętości kropel i jednej godziny czasu suszenia.

## Wyniki badań

Na rysunku 3 pokazano spadek zawartości wody w czasie suszenia kropel dla różnych temperatur czynnika suszącego – przy prędkości czynnika suszącego  $1 \text{ m} \cdot \text{s}^{-1}$  i stężeniu 30% suchej substancji w surowcu.



Rys. 2. Spadek zawartości wody w czasie suszenia kropel dla różnych temperatur czynnika suszącego

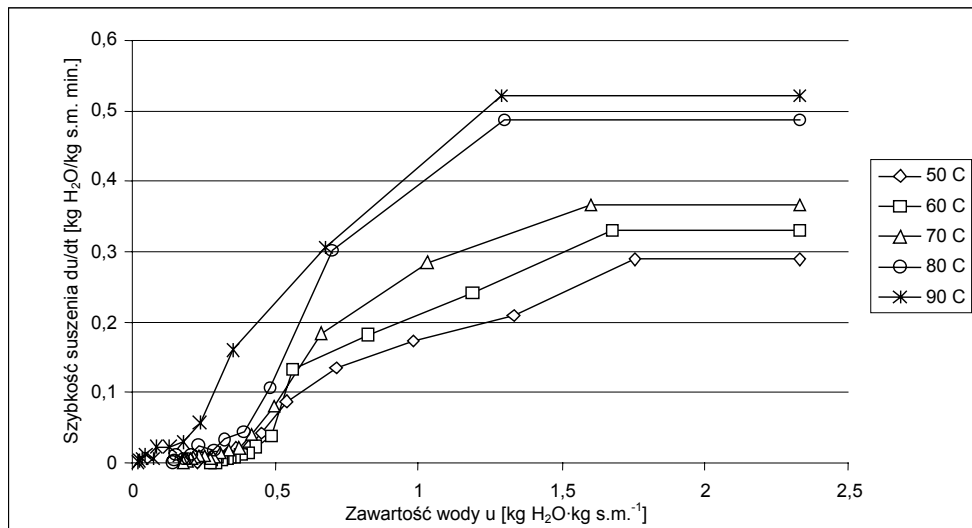
Fig. 2. Water content drop while drying drops for different drying medium temperature values

Zawartość suchej substancji w surowcu wynosiła 30%, gęstość  $\rho=1119,75 \text{ kg} \cdot \text{m}^{-3}$  a lepkość dynamiczna  $\eta=1,8 \cdot 10^{-3} \text{ Pas}$ . W doświadczeniu utrzymano stałą prędkość czynnika suszącego  $1 \text{ m} \cdot \text{s}^{-1}$  oraz stałe stężenie równe 30% s.m.. Jak wynika z wykresu czas suszenia próbki (5 kropel) od zawartości wody 2,3 do około  $0,019 \text{ kg H}_2\text{O} \cdot \text{kg}^{-1}$  s.m. zawierał się w granicach 24–34 minut w zależności od temperatury czynnika suszącego. Pomijając pierwsze dwie minuty pozostałe punkty na krzywej dla temperatury czynnika suszącego: 50°C, 60°C, 70°C, 80°C, 90°C można opisać równaniem wykładniczym w postaci:

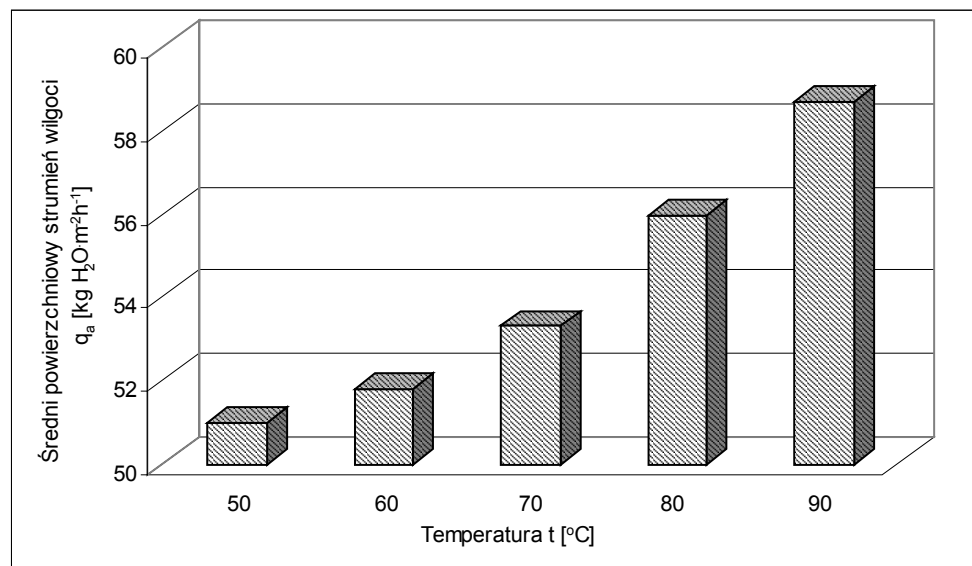
$$u_{(t)II} = Ae^{Bt} \quad (2)$$

Współczynnik determinacji  $R^2$  zawiera się pomiędzy 0,85 a 0,99.

Na rysunku 4 pokazano szybkość suszenia w funkcji zawartości wody, dla różnych temperatur czynnika suszącego, przy prędkości czynnika suszącego  $1 \text{ m} \cdot \text{s}^{-1}$  i stężeniu kropel 30% s.m.



Rys. 3. Szybkość suszenia w funkcji zawartości wody dla różnych temperatur czynnika suszącego  
 Fig. 3. Drying rate in function of water content for different drying medium temperature values



Rys. 4. Wpływ temperatury czynnika suszącego na wartość średniego objętościowego strumienia wilgoci  $q_v$   
 Fig. 4. Drying medium temperature impact on the value of mean volumetric moisture stream  $q_v$

## Wpływ temperatury czynnika...

---

Wpływ temperatury czynnika suszającego na dynamikę ubytków wody potwierdza wykres szybkości suszenia przedstawiony na rysunku 4. W oparciu o rysunki 3 i 4 można zauważyć, że okres (prawdopodobnie o stałej szybkości suszenia) dotyczy zawartości wody w przedziale 2,3–1,7 kg H<sub>2</sub>O·kg<sup>-1</sup> s.m. dla t = 50°C i 2,3 do 1,29 kg H<sub>2</sub>O·kg<sup>-1</sup> s.m. dla t=90°C. W ciągu pierwszych dwóch minut suszenia podwyższenie temperatury czynnika suszającego z 50°C do 90°C spowodowało wzrost szybkości suszenia z około 0,6 do około 1,0 kg H<sub>2</sub>O·kg<sup>-1</sup> s.m. min<sup>-1</sup>.

Na rysunku 4 pokazano wpływ temperatury czynnika suszającego – przy prędkości czynnika suszającego 1 m·s<sup>-1</sup> i zawartości suchej substancji w surowcu 30%, na wartość średniego objętościowego strumienia wilgoci q<sub>v</sub>.

Zgodnie z oczekiwaniem wzrost temperatury czynnika suszającego spowodował wzrost wartości q<sub>v</sub>. Na przykład wartość q<sub>a</sub> przy temperaturze czynnika suszającego 50°C wynosiła około 50 kg H<sub>2</sub>O·m<sup>-3</sup>h<sup>-1</sup>. Dla temperatury czynnika suszającego 90°C wartość q<sub>v</sub> wzrasta do 60 kg H<sub>2</sub>O·m<sup>-3</sup>h<sup>-1</sup>, co świadczy o znaczeniu napędowej różnicy temperatur w przypadku suszenia kropel.

## Wnioski

1. Zmiany zawartości wody w suszonych kroplach koncentratu soku buraczanego w trakcie suszenia (pomijając pierwsze 2 minuty procesu) można opisać równaniem wykładniczym postaci:

$$u_{(t)II} = Ae^{Bt}$$

2. Podwyższenie temperatury suszenia z 50 do 90°C spowodowało wzrost średniego objętościowego strumienia wilgoci od 50,99 kg H<sub>2</sub>O·m<sup>-3</sup>h<sup>-1</sup> do 58,66 kg H<sub>2</sub>O·m<sup>-3</sup>h<sup>-1</sup> przy prędkości czynnika suszającego 1 m·s<sup>-1</sup> i zawartości suchej masy 30%.

## Bibliografia

- Charleswortha D.H., Marschalla W.R.Jr.** 1960. Evaporation from drops containing dissolved solids, AIChEJ.
- Nesic S.** 1989. The evaporation of single droplets—experiments and modeling. Drying'89. Features Predicted by the Particile Source in Celi Model, Experimental Measurements, Ind.Eng. Chem. Res., 27(11).
- Sano Y., Keey R.B.** 1982. The drying of a spherical particile containing colloidal material into a hollow sphere, Chemical Engineering Science 37(6).

## THE IMPACT OF DRYING MEDIUM TEMPERATURE ON DRYING KINETICS FOR GARDEN BEET JUICE DROPS

**Abstract.** A laboratory setup was used to carry out experiments on drying single drops of garden beet juice concentrate with extract content of 30% for drying medium temperatures: 50, 60, 70, 80, 90°C, and its constant velocity  $v=1\text{m}\cdot\text{s}^{-1}$ . The impact of drying medium temperature on content drop.

**Key words:** drying, garden beet juice, drops, convection drying

**Adres do korespondencji:**

Stanisław Peroń; e-mail: stanislaw.peron@up.wroc.pl  
Instytut Inżynierii Rolniczej  
Uniwersytet Przyrodniczy we Wrocławiu  
ul. Chelmońskiego 37/41  
51-630 Wrocław